

# 亚硝酸盐形态对ANAMMOX菌活性的影响及抑制规律

朱强<sup>1,2,3</sup>, 王凡<sup>1,2</sup>, 刘娜<sup>3</sup>, 林兴<sup>1,2</sup>, 陈方敏<sup>1,2</sup>,  
李祥<sup>1,2</sup>, 黄勇<sup>1,2</sup>

(1. 苏州科技大学 环境科学与工程学院, 江苏 苏州 215002; 2. 苏州科技大学 环境生物  
技术研究所, 江苏 苏州 215002; 3. 清华苏州环境创新研究院, 江苏 苏州 215163)

**摘要:** 采用可实现实时监测和调控 pH 值功能的连续流反应器, 在反应温度为( $32 \pm 1$ )  
℃、HRT 为 5.6 h 的条件下, 针对人工模拟废水研究了亚硝酸盐形态和浓度对 ANAMMOX 菌活性  
的影响及抑制规律。试验结果表明, 当进水氨氮和亚硝态氮的浓度分别为 95.36、257.25 mg/L 时,  
将反应器中废水的 pH 值从 7.5 调至 8.25, 经过 139 h 后反应器内的氨氮浓度从 4.67 mg/L 升高至  
82.10 mg/L, 抑制了 86.2% 的 ANAMMOX 菌活性。将 pH 值从 8.25 继续调低至 7.5 时, 反应器中  
离子态亚硝酸盐( $\text{NO}_2^-$ )浓度降低, 出水中氨氮和亚硝态氮浓度下降, 此时被抑制的 ANAMMOX 菌  
的活性得到一定程度的恢复, 可见  $\text{NO}_2^-$  才是造成 ANAMMOX 菌活性下降的抑制物。 $\text{NO}_2^- - \text{N}$  对  
ANAMMOX 菌活性的抑制受  $\text{NO}_2^- - \text{N}$  浓度和抑制时间的影响, 当进水  $\text{NO}_2^- - \text{N}$  浓度由 250 mg/L  
增加至 1 000 mg/L 时, 达到相同抑制效果所需的时间由 46 h 缩短至 10.5 h。因此, ANAMMOX 菌  
的活性受抑制程度与进水  $\text{NO}_2^- - \text{N}$  浓度、反应温度、反应时间和可对  $\text{NO}_2^- - \text{N}$  形态产生影响的 pH  
值有关。

**关键词:** 亚硝酸盐; 厌氧氨氧化; 游离亚硝酸; 抑制形态; pH 值

**中图分类号:** TU992    **文献标识码:** A    **文章编号:** 1000-4602(2019)15-0122-06

## Effect of Nitrite Form on ANAMMOX Bacteria Activity and Its Inhibiting Rule

ZHU Qiang<sup>1,2,3</sup>, WANG Fan<sup>1,2</sup>, LIU Na<sup>3</sup>, LIN Xing<sup>1,2</sup>, CHEN Fang-min<sup>1,2</sup>,  
LI Xiang<sup>1,2</sup>, HUANG Yong<sup>1,2</sup>

(1. School of Environmental Science and Engineering, Suzhou University of Science and Technology, Suzhou  
215002, China; 2. Institute of Environmental Biotechnology, Suzhou University of Science and Technology,  
Suzhou 215002, China; 3. Research Institute for Environmental Innovation <Suzhou> Tsinghua,  
Suzhou 215163, China)

**Abstract:** The effect of nitrite form and concentration on the activity of ANAMMOX bacteria and  
its inhibiting rule was studied by feeding simulated wastewater in a continuous flow reactor with real-time  
monitoring and pH regulation function. The reaction temperature was ( $32 \pm 1$ ) ℃ and HRT was 5.6 h.  
The results showed that the  $\text{NH}_4^+ - \text{N}$  concentration in the reactor increased from 4.67 mg/L to 82.10

基金项目: 国家自然科学基金资助项目(51478284, 51408387); 国家重点研发计划项目(2016YFC0401103); 苏州市  
分离净化材料与技术重点实验室项目(SZS201512)

通信作者: 黄勇 E-mail:yhuang@mail.usts.edu.cn

mg/L after 139 hours and 86.2% ANAMMOX bacteria activity was inhibited when the influent  $\text{NH}_4^+ - \text{N}$  and  $\text{NO}_2^- - \text{N}$  concentration were 95.36 mg/L and 257.25 mg/L and pH increased from 7.5 to 8.25. When the pH was adjusted from 8.25 to 7.5, the ionic nitrite ( $\text{NO}_2^-$ ) concentration in the reactor decreased, and the effluent  $\text{NH}_4^+ - \text{N}$  and  $\text{NO}_2^- - \text{N}$  concentration declined synchronously. Meanwhile, activity of ANAMMOX bacteria was restored to some extent, which indicated that  $\text{NO}_2^-$  was the real inhibitor of ANAMMOX bacteria. The inhibition of  $\text{NO}_2^- - \text{N}$  on ANAMMOX bacteria activity was affected by concentration and inhibition time of  $\text{NO}_2^- - \text{N}$ . When the influent  $\text{NO}_2^- - \text{N}$  concentration was increased from 250 mg/L to 1 000 mg/L, the inhibition time required to achieve the same inhibition effect was reduced from 46 hours to 10.5 hours. Therefore, the inhibition of ANAMMOX bacteria activity was related to the influent  $\text{NO}_2^- - \text{N}$ , temperature, reaction time and pH which could affect the form of nitrite.

**Key words:** nitrite; ANAMMOX; FNA; inhibiting form; pH

与传统硝化反硝化脱氮工艺相比,厌氧氨氧化(ANAMMOX)工艺因具有能耗低、不需要外加碳源、节省占地等优点<sup>[1-3]</sup>,引起了科研人员的关注。亚硝酸盐和氨氮作为 ANAMMOX 的反应物,其浓度的高低可影响 ANAMMOX 反应的稳定性。研究表明,当亚硝酸盐浓度达到一定水平后,反应器中 ANAMMOX 菌的活性会受到抑制<sup>[4-7]</sup>,脱氮速率也会随之下降<sup>[8]</sup>,这是导致 ANAMMOX 工艺不能普及的原因之一。Fernández 等人<sup>[9]</sup>认为,对 ANAMMOX 工艺有抑制作用的不是离子态的  $\text{NO}_2^-$ ,而是游离亚硝酸(FNA);但 Lotti 等人<sup>[5]</sup>发现,离子态的  $\text{NO}_2^-$  是 ANAMMOX 工艺的抑制物,不是 FNA。ANAMMOX 菌的活性会受到亚硝酸盐形态的影响,且这种抑制作用的范围广、差异大。目前大多数的研究者只是对此抑制现象进行了简单描述,并未给出合理的解释,在实际工程中遇到此类问题也无从借鉴。pH 值<sup>[10-13]</sup>、温度( $T$ )<sup>[14]</sup>是影响 ANAMMOX 菌活性的重要因子,而反应环境中亚硝酸盐的形态又受到 pH 值和温度的影响,很多研究者在分析  $\text{NO}_2^- - \text{N}$  浓度及形态对 ANAMMOX 反应的抑制时,并没有严格控制这些因素的稳定性<sup>[11]</sup>。

笔者通过调控反应过程中的 pH 值和温度,分析了  $\text{NO}_2^- - \text{N}$  作为反应基质对 ANAMMOX 菌活性的影响;通过控制不同进水  $\text{NO}_2^- - \text{N}$  浓度,研究了  $\text{NO}_2^- - \text{N}$  浓度对 ANAMMOX 菌活性的影响,旨在为 ANAMMOX 工艺的高效脱氮奠定基础。

## 1 材料与方法

试验采用有效体积为 3 L 的圆柱形玻璃反应

器,如图 1 所示。

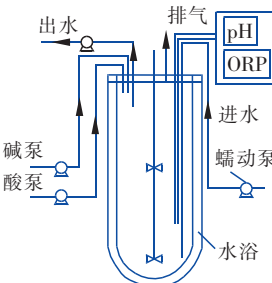


图 1 试验装置示意

Fig. 1 Schematic diagram of experimental reactor

反应器配有可对氧化还原电位(ORP)和 pH 值进行实时监控和传输的装置,反应器内部温度通过恒温加热装置调控,并配有水浴夹套、搅拌桨,将温度稳定控制在  $(32 \pm 1)$  °C。通过蠕动泵控制反应器的进水流量,采用连续流进水方式,水力停留时间(HRT)为 5.6 h。反应器内 pH 值采用 1 mol/L 的 HCl 或 NaHCO<sub>3</sub> 调节。

试验装置中接种了 200 mL 表面光滑且呈红色的 ANAMMOX 颗粒污泥,取自课题组长期稳定运行的 ANAMMOX 种泥反应器。

试验用水由人工配制,采用 NH<sub>4</sub>Cl 提供氨氮,采用 NaNO<sub>2</sub> 提供亚硝酸盐氮,矿物质元素组成为: CaCl<sub>2</sub> (0.136 g/L)、MgSO<sub>4</sub> · 7H<sub>2</sub>O (0.3 g/L)、KH<sub>2</sub>PO<sub>4</sub> (0.027 g/L)、NaHCO<sub>3</sub> (按需投加);微量元素Ⅰ成分为:EDTA (5 g/L)、FeSO<sub>4</sub> (5 g/L);微量元素Ⅱ成分为:CuSO<sub>4</sub> · 5H<sub>2</sub>O (0.25 g/L)、EDTA (5 g/L)、NaSeO<sub>4</sub> · 10H<sub>2</sub>O (0.2 g/L)、ZnSO<sub>4</sub> · 7H<sub>2</sub>O (0.043 g/L)、H<sub>3</sub>BO<sub>4</sub> (0.014 g/L)、CoCl<sub>2</sub> · 6H<sub>2</sub>O

(0.24 g/L)、 $\text{MnCl}_2 \cdot 4\text{H}_2\text{O}$  (0.99 g/L)、 $\text{NaMoO}_4 \cdot 2\text{H}_2\text{O}$  (0.22 g/L)。

微量元素Ⅰ的投量为1.0 mL/L,微量元素Ⅱ的投量为1.25 mL/L。采用高纯氮气去除进水中的氧气,曝气时间为30 min。

相关水质指标均按照《水和废水监测分析方法》(第4版)进行测定,水中FNA浓度按照式(1)计算。

$$C_{\text{FNA}-\text{N}} = C_{\text{NO}_2^--\text{N}} / [(1 + e)^{-2300/(273+T)} \times 10^{\text{pH}}] \quad (1)$$

式中, $C_{\text{FNA}-\text{N}}$ 为FNA的浓度,mg/L; $C_{\text{NO}_2^--\text{N}}$ 为 $\text{NO}_2^-$ -N浓度,mg/L;T为温度,℃。

## 2 结果与讨论

### 2.1 亚硝酸盐累积下ANAMMOX菌的活性分析

连续流反应器进水中 $\text{NH}_4^+$ -N和 $\text{NO}_2^-$ -N浓度分别为95.36和257.25 mg/L,pH值为7.5,反应温度为( $32 \pm 1$ )℃,HRT通过蠕动泵控制在5.6 h,反应器内 $\text{NH}_4^+$ -N和 $\text{NO}_2^-$ -N浓度的变化如图2所示。

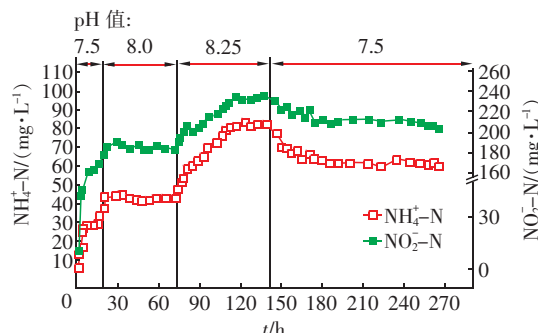


图2  $\text{NH}_4^+$ -N和 $\text{NO}_2^-$ -N浓度的变化

Fig. 2 Variation of  $\text{NH}_4^+$ -N and  $\text{NO}_2^-$ -N concentration

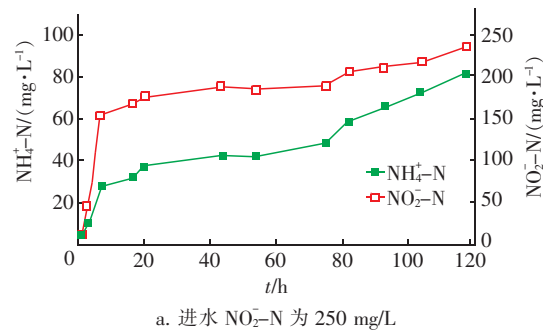
从图2可以看出,反应初期, $\text{NH}_4^+$ -N和亚硝态氮基本被ANAMMOX菌消耗掉,浓度分别为4.67和10.27 mg/L,可见选用的ANAMMOX污泥具有良好的去除氮的能力。随着装置的运行,进入反应器内的基质逐渐增多,反应器内 $\text{NH}_4^+$ -N和 $\text{NO}_2^-$ -N浓度不断升高,经过7 h的运行, $\text{NH}_4^+$ -N和亚硝态氮浓度分别达到27.69和153.93 mg/L,反应器内部出现了 $\text{NO}_2^-$ -N积累现象,在接下来的10 h中, $\text{NH}_4^+$ -N和 $\text{NO}_2^-$ -N浓度基本保持不变,此时对 $\text{NH}_4^+$ -N的去除率为66.6%,说明反应器内的ANAMMOX菌活性没有继续受到高浓度进水基质的影响,氮去除效果相对稳定。将pH值调至8.0

后,经过42 h的运行,反应器中 $\text{NH}_4^+$ -N和亚硝态氮浓度分别达到43.19和182.18 mg/L,此时对 $\text{NH}_4^+$ -N的去除率为54.6%,与pH值为7.5相比,ANAMMOX菌对氮的去除率开始下降。而当氨氮浓度为43.19 mg/L时,不会对ANAMMOX菌的活性产生影响,说明影响ANAMMOX菌活性的是高浓度的进水 $\text{NO}_2^-$ -N或pH值改变后亚硝酸盐的形态。将反应器内的pH值继续调节至8.25,经过67 h的运行,反应器内 $\text{NH}_4^+$ -N和 $\text{NO}_2^-$ -N的浓度分别达到82.10和236.03 mg/L,此时对 $\text{NH}_4^+$ -N的去除率仅为13.8%,说明ANAMMOX菌活性受到了抑制。

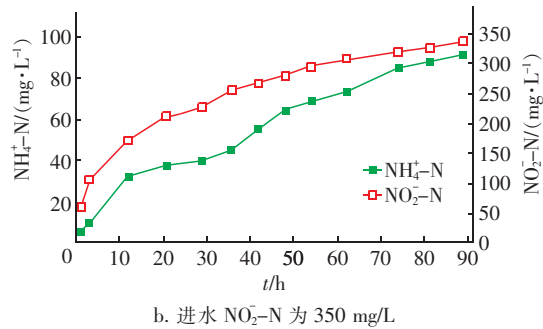
反应器运行至139 h时, $\text{NH}_4^+$ -N和 $\text{NO}_2^-$ -N浓度基本稳定,此时将pH值调低至7.5,反应器内部的 $\text{NH}_4^+$ -N和 $\text{NO}_2^-$ -N浓度也出现了降低。当运行至266 h时,反应器内 $\text{NH}_4^+$ -N和 $\text{NO}_2^-$ -N浓度分别降至59.77和202.93 mg/L,此时 $\text{NH}_4^+$ -N去除率恢复至37.2%,ANAMMOX菌的活性在一定程度上得以恢复。

### 2.2 亚硝酸盐对ANAMMOX菌活性的抑制

对于稳定运行的ANAMMOX反应器,通过加热控制反应器内部的温度为( $32 \pm 1$ )℃,将pH值控制在8.0,保持进水 $\text{NH}_4^+$ -N浓度恒定,分析不同进水 $\text{NO}_2^-$ -N浓度条件下出水氨氮的变化,结果如图3所示。



a. 进水 $\text{NO}_2^-$ -N为250 mg/L



b. 进水 $\text{NO}_2^-$ -N为350 mg/L

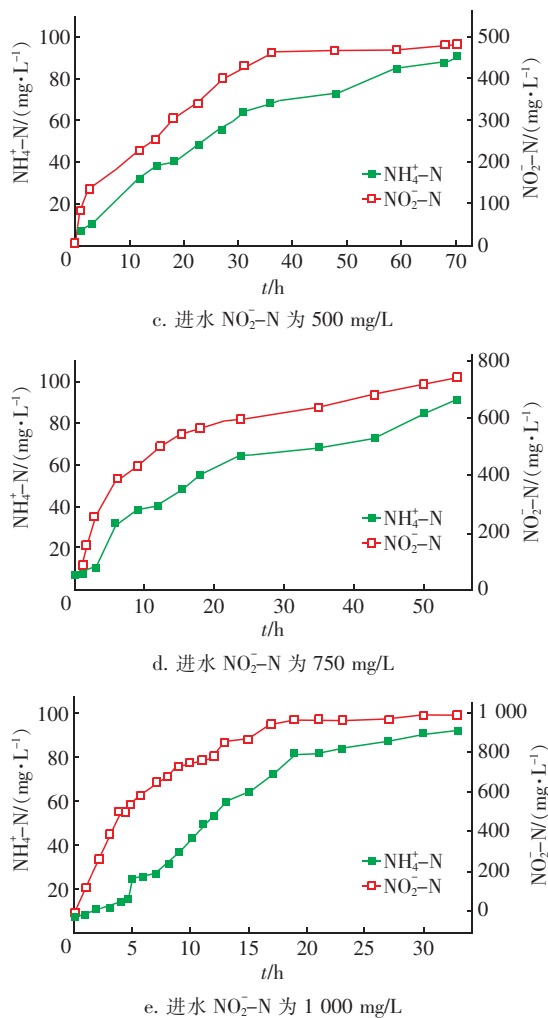


图 3 不同进水  $\text{NO}_2^-$ -N 浓度条件下  $\text{NH}_4^+$ -N 的变化

Fig. 3 Variation of  $\text{NH}_4^+$ -N under different  $\text{NO}_2^-$ -N concentrations

从图 3 可知, 在不同  $\text{NO}_2^-$ -N 浓度梯度下, 随着反应批次中  $\text{NO}_2^-$ -N 浓度的不断提高,  $\text{NO}_2^-$ -N 浓度逐渐超出了可对 ANAMMOX 菌活性产生抑制作用的耐受浓度, 对 ANAMMOX 菌同等的抑制效果(半抑制浓度)所需要的反应时间(抑制时间 t)不同, 且达到半抑制效果的  $\text{NO}_2^-$ -N 浓度存在差异。从图 3(a)可以看出, 当进水  $\text{NO}_2^-$ -N 浓度为 250 mg/L 时, 达到半抑制效果所需的时间为 46 h, 此时  $\text{NO}_2^-$ -N 浓度为 183 mg/L。当进水  $\text{NO}_2^-$ -N 浓度为 500 mg/L 时, 达到半抑制效果所需的时间减小至 22.6 h, 此时反应器内  $\text{NO}_2^-$ -N 浓度为 340 mg/L, 见图 3(c)。当进水  $\text{NO}_2^-$ -N 浓度达到 1 000 mg/L 时, 仅需 10.5 h 就达到了半抑制水平, 见图 3(e)。也就是说, 进水  $\text{NO}_2^-$ -N 浓度越大, 达到半抑制水

平所需要的时间就会越短, 即抑制浓度与响应时间存在着一定的函数关系, 这种函数关系能通过进水  $\text{NO}_2^-$ -N 浓度的高低以及反应时间的长短确定对 ANAMMOX 菌抑制的效果。

### 3 讨论

#### 3.1 亚硝酸盐抑制形态分析

在亚硝酸盐形态对 ANAMMOX 反应的抑制试验中, 控制 pH 值为 7.5~8.3。过高的 pH 值对 ANAMMOX 菌的抑制作用体现在能够对反应过程中的酶活性以及参与反应的  $\text{NO}_2^-$ -N 形态产生影响。本试验中,  $\text{NO}_2^-$ -N 作为 ANAMMOX 反应的基质之一, 在水中常以  $\text{NO}_2^-$  和  $\text{HNO}_2$  的形式存在, 且  $\text{HNO}_2$  与  $\text{NO}_2^-$  之间存在电离平衡, 见式(2)。



结合式(1)和式(2)可知, pH 值和温度均能够对亚硝酸盐的形态产生影响, 且 FNA 浓度随着 pH 值或温度的升高而下降, 而  $\text{FNA}$  和  $\text{NO}_2^-$  在水中处于动态平衡, 当 FNA 浓度下降时,  $\text{NO}_2^-$  浓度会有所升高, 而高浓度的  $\text{NO}_2^-$  又会对微生物细胞产生抑制作用<sup>[15~17]</sup>。

Fernández 等<sup>[9]</sup>认为, 当 FNA 浓度低于 6.6  $\mu\text{g}/\text{L}$  时不会对 ANAMMOX 菌的活性产生影响, 当 FNA 浓度达到 11  $\mu\text{g}/\text{L}$  时会对 ANAMMOX 菌造成 50% 的抑制, 当 FNA 浓度达到 15  $\mu\text{g}/\text{L}$  时会使 ANAMMOX 菌失去活性。图 4 为 FNA 和氨氮去除率的变化。可以看出, 17 h 以后, 反应基本达到稳定, 此时 FNA 浓度达到 9.53  $\mu\text{g}/\text{L}$ , 调整 pH 值至 8.0, FNA 浓度下降至 3.3  $\mu\text{g}/\text{L}$ , 而此时的氨氮去除率由 66.7% 下降至 54.6%。当反应进行至 72 h 时, 进一步调整 pH 值至 8.25, FNA 浓度下降至 2.2  $\mu\text{g}/\text{L}$ , 此时的氨氮去除率明显下降, 最低达到 13.8%。在 17~139 h 过程中, 反应器内的亚硝态氮浓度保持在 170~230 mg/L 之间, 此时通过调整 pH 值的大小, FNA 浓度也随之发生变化, 这是 FNA 浓度降低的原因。当 FNA 浓度为 2.2  $\mu\text{g}/\text{L}$  时不会对 ANAMMOX 菌产生抑制, 又由于亚硝酸盐的形态与 pH 值的关系较为密切, FNA 与  $\text{NO}_2^-$  在反应器中达到电离平衡, 当 FNA 浓度从 9.53  $\mu\text{g}/\text{L}$  降至 2.2  $\mu\text{g}/\text{L}$  时, 反应器中的  $\text{NO}_2^-$  浓度一直在增高, 这也证明了氨氮去除率下降的原因是反应器内部  $\text{NO}_2^-$  浓度升高, 即  $\text{NO}_2^-$  是 ANAMMOX 菌的抑制物, 这与

Lotti 等人<sup>[5]</sup>的报道一致。当反应器运行至 139 h 时,调整 pH 值至 7.5,氨氮去除率明显上升,从 13.8% 升高至 37.2%,抑制作用得到一定的缓解,而在 139~266 h 的运行时间内,FNA 浓度从 2.2 μg/L 升高至 12.09 μg/L,反应器中的 NO<sub>2</sub><sup>-</sup>-N 浓度基本不变,由 FNA 与 NO<sub>2</sub><sup>-</sup> 浓度电离平衡可以看出,在 pH 值从 8.25 调整至 7.5 过程中,FNA 不是 ANAMMOX 菌的抑制物,NO<sub>2</sub><sup>-</sup> 才是导致 ANAMMOX 菌活性下降的原因。pH 值调整后的氨氮去除率从 13.8% 恢复至 37.2%,也证明了短时间内高浓度的亚硝酸盐不会导致 ANAMMOX 菌活性丧失<sup>[7]</sup>。

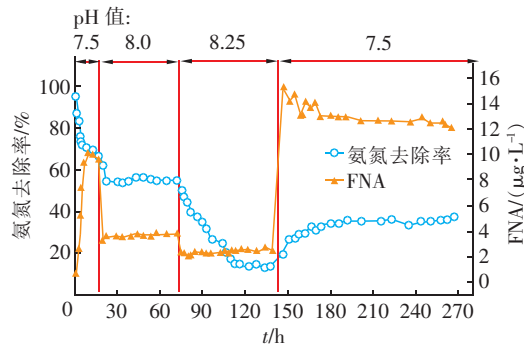


图 4 FNA 和氨氮去除率的变化

Fig. 4 Variation of FNA and NH<sub>4</sub><sup>+</sup>-N removal rate

Puyol 等<sup>[6]</sup>认为 NO<sub>2</sub><sup>-</sup>-N 对 ANAMMOX 菌的抑制作用是由 FNA 和 NO<sub>2</sub><sup>-</sup> 共同导致的,且 NO<sub>2</sub><sup>-</sup> 和 FNA 的抑制浓度分别为 561 和 0.117 mg/L,当 pH 值低于 7.1 时,FNA 对 ANAMMOX 菌的抑制作用贡献率较大;当 pH 值较高时,NO<sub>2</sub><sup>-</sup> 对 ANAMMOX 菌的抑制作用贡献率较大。在本试验后期,调整 pH 值至 7.5,虽然 NO<sub>2</sub><sup>-</sup> 对 ANAMMOX 的抑制作用减弱,氨氮去除率有所提升,但由于 pH 值为 8.25 时对 ANAMMOX 菌的抑制作用增强,使得反应器内部的亚硝酸盐浓度有所提升,导致后期调整 pH 值后,FNA 浓度较反应初期有所提升,反应并不能恢复至初始 pH 值为 7.5 时的氮去除能力,此时的 FNA 浓度达到 12.09 μg/L,这与 Fernández 等人<sup>[9]</sup>的研究结果——当 FNA 浓度达到 11 μg/L 时会对 ANAMMOX 造成 50% 的抑制大致相当。

### 3.2 半抑制水平下 NO<sub>2</sub><sup>-</sup>-N 的抑制规律分析

当进水 NO<sub>2</sub><sup>-</sup>-N 浓度分别为 250、350、500、750 和 1 000 mg/L 时,ANAMMOX 菌达到半抑制水平所需的抑制时间分别为 46、35.7、22.6、15.4 和 10.5 h,此时反应器内的 NO<sub>2</sub><sup>-</sup>-N 浓度 (IC<sub>50</sub>) 分别为

183、257、340、540 和 751 mg/L。可以看出,随着进水 NO<sub>2</sub><sup>-</sup>-N 浓度的升高,达到半抑制水平所需的时间逐渐变短,抑制时间与 IC<sub>50</sub> 具有明显的相关性。之前的研究中,一般只考虑到 NO<sub>2</sub><sup>-</sup>-N 浓度的高低会对 ANAMMOX 工艺产生抑制,而忽视了这种抑制水平会受到反应时间的影响,更没有考虑到半抑制水平、半抑制 NO<sub>2</sub><sup>-</sup>-N 浓度与反应时间的关系,这也是诸多报道中存在的低浓度 NO<sub>2</sub><sup>-</sup>-N 也会对 ANAMMOX 工艺产生抑制的原因。

将不同进水 NO<sub>2</sub><sup>-</sup>-N 浓度下达到半抑制亚硝态氮浓度与抑制时间进行拟合,结果如图 5 所示。可见,两者具有显著的函数关系,且相关系数达到了 0.992。NO<sub>2</sub><sup>-</sup>-N 对 ANAMMOX 菌的抑制受亚硝态氮浓度和反应时间的影响,即  $IC_{50} = F(IC_{NO_2^- - N}, t)$ ,  $IC_{NO_2^- - N}$  值越小达到 IC<sub>50</sub> 所需要的反应时间  $t$  越长。而 NO<sub>2</sub><sup>-</sup>-N 又是 pH 值和温度  $T$  的函数,即  $IC_{50} = F[IC_{NO_2^- - N}(pH, T), t]$ 。对于一定生物量的 ANAMMOX 菌,脱氮能力相对稳定的情况下,当受到不同浓度梯度的 NO<sub>2</sub><sup>-</sup>-N 抑制后,达到相同的抑制程度(半抑制水平)时,抑制时间存在一定的差异。图 5 的曲线为半抑制临界曲线,曲线上任意一点均表示该状态下达到 IC<sub>50</sub> 的最小 IC<sub>NO<sub>2</sub><sup>-</sup>-N</sub> 和抑制时间。可见,NO<sub>2</sub><sup>-</sup>-N 对 ANAMMOX 菌的影响不但与亚硝态氮浓度有关系,还与抑制时间密切相关,即  $IC_{50} = F[IC_{NO_2^- - N}(pH, T), t]$ ,具体半抑制函数关系还有待研究。

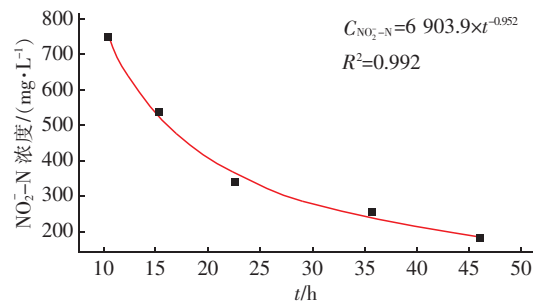


图 5 IC<sub>50</sub> 条件下抑制时间与 NO<sub>2</sub><sup>-</sup>-N 浓度的拟合关系

Fig. 5 Fitting relationship between NO<sub>2</sub><sup>-</sup>-N and inhibition time in IC<sub>50</sub> period

## 4 结论

① 在进水 NH<sub>4</sub><sup>+</sup>-N、NO<sub>2</sub><sup>-</sup>-N 浓度分别为 95.36 和 257.25 mg/L 条件下,经过 139 h 后,出水 NH<sub>4</sub><sup>+</sup>-N 浓度为 82.10 mg/L 时,抑制了 86.2% 的 ANAMMOX 菌活性。通过降低 pH 值,反应器中的

$\text{NO}_2^-$  浓度降低,出水中  $\text{NH}_4^+ - \text{N}$  和  $\text{NO}_2^- - \text{N}$  浓度均出现下降,ANAMMOX 菌活性得到恢复,可见  $\text{NO}_2^-$  才是 ANAMMOX 菌的真正抑制物。

②  $\text{NO}_2^-$  对 ANAMMOX 菌的抑制受  $\text{NO}_2^- - \text{N}$  浓度和反应时间的影响,当进水  $\text{NH}_4^+ - \text{N}$  浓度由 250 mg/L 增加至 1 000 mg/L 时,所需的抑制时间由 46 h 缩短至 10.5 h,且抑制过程中相应的  $\text{NO}_2^- - \text{N}$  浓度增加。

### 参考文献:

- [1] Lackner S, Gilbert E M, Vlaeminck S E, et al. Full-scale partial nitritation/anammox experiences—An application survey [J]. Water Res, 2014, 55: 292–303.
- [2] Ni S Q, Lee P H, Fessehaie A, et al. Enrichment and biofilm formation of Anammox bacteria in a non-woven membrane reactor [J]. Bioresour Technol, 2010, 101(6): 1792–1799.
- [3] Sobotka D, Tuszyńska A, Kowal P, et al. Long-term performance and microbial characteristics of the anammox-enriched granular sludge cultivated in a bench-scale sequencing batch reactor [J]. Biochem Eng J, 2017, 120: 125–135.
- [4] Kimura Y, Isaka K, Kazama F, et al. Effects of nitrite inhibition on anaerobic ammonium oxidation [J]. Appl Microbiol Biotechnol, 2010, 86(1): 359–365.
- [5] Lotti T, van der Star W R L, Kleerebezem R, et al. The effect of nitrite inhibition on the anammox process [J]. Water Res, 2012, 46(8): 2559–2569.
- [6] Puyol D, Carvajal-Arroyo J M, Sierra-Alvarez R, et al. Nitrite (not free nitrous acid) is the main inhibitor of the anammox process at common pH conditions [J]. Biotechnol Lett, 2014, 36(3): 547–551.
- [7] Carvajal-Arroyo J M, Puyol D, Li G B, et al. Pre-exposure to nitrite in the absence of ammonium strongly inhibits anammox [J]. Water Res, 2014, 48: 52–60.
- [8] Bettazzi E, Caffaz S, Vannini C, et al. Nitrite inhibition and intermediates effects on Anammox bacteria: A batch-scale experimental study [J]. Process Biochemistry, 2010, 45(4): 573–580.
- [9] Fernández I, Dosta J, Fajardo C, et al. Short- and long-term effects of ammonium and nitrite on the Anammox process [J]. J Environ Manage, 2012, 95(S): 170–174.
- [10] Carvajal-Arroyo J M, Puyol D, Li G B, et al. The role of pH on the resistance of resting-and active anammox bacteria to  $\text{NO}_2^-$  inhibition [J]. Biotechnol Bioeng, 2014, 111(10): 1949–1956.
- [11] He S L, Zhang Y L, Niu Q G, et al. Operation stability and recovery performance in an Anammox EGSB reactor after pH shock [J]. Ecol Eng, 2016, 90: 50–56.
- [12] Rathnayake R M L D, Oshiki M, Ishii S, et al. Effects of dissolved oxygen and pH on nitrous oxide production rates in autotrophic partial nitrification granules [J]. Bioresour Technol, 2015, 197: 15–22.
- [13] Yin Z X, dos Santos C E D, Vilaplana J G, et al. Importance of the combined effects of dissolved oxygen and pH on optimization of nitrogen removal in anammox-enriched granular sludge [J]. Process Biochemistry, 2016, 51(9): 1274–1282.
- [14] Wu X, Liu S T, Dong G L, et al. The starvation tolerance of anammox bacteria culture at 35 °C [J]. J Biosci Bioeng, 2015, 120(4): 450–455.
- [15] Carvajal-Arroyo J M, Puyol D, Li G B, et al. The intracellular proton gradient enables anaerobic ammonia oxidizing (anammox) bacteria to tolerate  $\text{NO}_2^-$  inhibition [J]. J Biotechnol, 2014, 192: 265–267.
- [16] Carvajal-Arroyo J M, Puyol D, Li G B, et al. Starved anammox cells are less resistant to  $\text{NO}_2^-$  inhibition [J]. Water Res, 2014, 65: 170–176.
- [17] Kim T, An J, Lee H, et al. pH-dependent ammonia removal pathways in microbial fuel cell system [J]. Bioresour Technol, 2016, 215: 290–295.



作者简介:朱强(1990-),男,江苏徐州人,硕士研究生,主要研究方向为水污染控制理论与技术。

E-mail:756035128@qq.com

收稿日期:2017-04-18